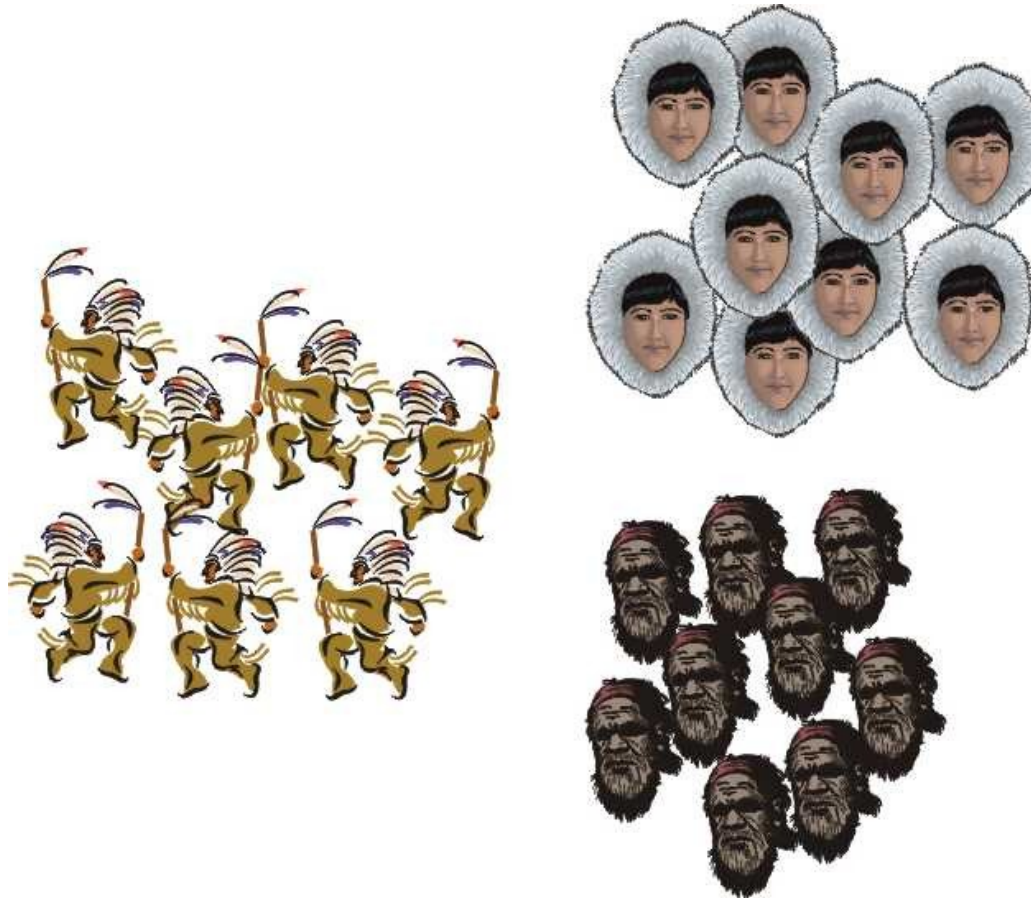


# Analýza populační variability a struktury



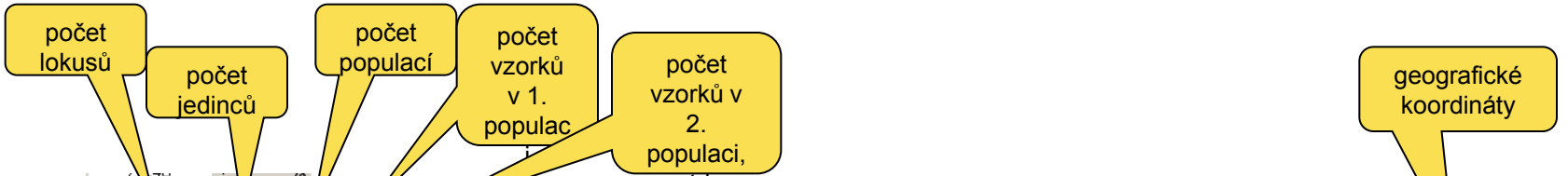
# Hierarchická populační struktura

Druh → populace → subpopulace (demy)

## Hlavní otázky populačně-genetické analýzy:

- Jak je variabilní daná populace a jaká je její efektivní velikost (neutrální genetická teorie:  $H_e = 4N_e\mu / [4N_e\mu + 1]$ )
- Nachází se daná populace v období demografické expanze nebo poklesu?
- Existuje mezi dvěma subpopulacemi bariéra toku genů a jak je silná? Jaká je prostorová genetická struktura?
- Vyskytují se v populacích imigranti nebo jejich potomci (hybridi)?

# Diploidní single-locus markery (mikrosatelity)



	A	B	C	D	E	F	G	H	I	J	K	L	M	N	O	P	Q	R	S	T	U	V	W	X	Y	Z	AA	AA		
1	11	233	10	30	22	25	22	18	23	12	27	25	29																	
2	Allele frequency																													
3	ID	Pop	Ppip01	Ppip02	Ppip04	Ppip06	EF1	EF4	EF6	Paur05	NN18	NnP217	NnP219	X	Y															
4	TYN1	TYN	174	176	128	128	213	215	120	132	166	175	236	247	174	188	249	251	287	291	205	209	140	170			48.76500	17.00750		
5	TYN2	TYN	167	167	132	132	207	207	130	136	169	175	230	245	182	188	247	249	287	287	205	218	166	166			48.76500	17.00750		
6	TYN3	TYN	176	178	128	128	207	207	130	130	169	169	0	184	190	190	249	249	283	293	209	213	166	170			48.76500	17.00750		
7	TYN4	TYN	180	180	130	132	207	207	118	124	171	173	220	243	184	190	247	249	283	285	209	214	140	166			48.76500	17.00750		
8	TYN5	TYN	174	174	128	128	207	207	128	138	179	181	241	241	182	188	247	253	0	0	205	209	158	162			48.76500	17.00750		
9	TYN6	TYN	180	182	128	130	209	209	136	136	173	175	241	243	184	186	253	253	295	325	209	213	162	170			48.76500	17.00750		
10	TYN7	TYN	174	180	128	130	215	215	130	130	173	173	241	241	190	190	249	249	285	325	209	213	158	162			48.76500	17.00750		
11	TYN8	TYN	174	175	128	134	207	221	128	138	171	177	220	240	178	186	249	249	287	293	213	213	162	166			48.76500	17.00750		
12	TYN9	TYN	156	178	126	130	209	209	128	149	177	177	220	230	184	188	249	255	287	287	217	218	158	166			48.76500	17.00750		
13	TYN10	TYN	167	178	128	130	209	209	132	134	171	175	243	245	184	186	245	247	285	287	205	218	158	174			48.76500	17.00750		
14	TYN11	TYN	170	174	130	130	217	217	130	138	173	175	0	0	182	190	251	257	289	291	213	213	166	170			48.76500	17.00750		
15	TYN12	TYN	174	176	130	132	0	0	134	134	175	177	220	220	186	186	249	251	293	297	209	209	158	162			48.76500	17.00750		
16	TYN13	TYN	166																		3	162	170			48.76500	17.00750			
17	TYN14	TYN	162																		5	166	166			48.76500	17.00750			
18	TYN15	TYN	156																		3	166	174			48.76500	17.00750			
19	TYN16	TYN	168	178	128	128	215	217	132	134	173	175	243	243	178	178	247	249	289	289	205	209	162	170			48.76500	17.00750		
20	TYN17	TYN	178	178	126	130	207	211	132	132	171	175	220	238	176	180	249	255	289	289	178	209	162	166			48.76500	17.00750		
21	TYN18	TYN	161	174	130	130	213	213	132	132	173	177	245	245	178	178	243	249	289	289	205	209	162	182			48.76500	17.00750		
22	TYN19	TYN	174	180	128	132	213	213	134	134	169	169	220	220	174	182	249	249	285	285	209	213	131	131			48.76500	17.00750		
23	TYN20	TYN	176	176	130	130	0	0	138	151	171	171	247	247	186	188	249	255	287	287	209	209	131	166			48.76500	17.00750		
24	TYN21	TYN	178	178	128	134	213	213	132	134	171	173	245	245	180	188	247	249	285	287	209	209	144	154			48.76500	17.00750		
25	TYN22	TYN	156	175	128	132	217	217	124	132	177	177	220	220	180	182	251	253	287	297	209	217	170	170			48.76500	17.00750		
26	TYN23	TYN	168	176	128	128	213	213	120	153	173	173	220	236	178	180	245	253	285	287	209	213	154	162			48.76500	17.00750		
27	TYN24	TYN	176	176	130	130	219	219	132	149	175	175	216	245	182	184	255	255	283	297	205	209	131	174			48.76500	17.00750		
28	TYN25	TYN	177	179	128	130	209	213	126	126	156	173	241	241	188	188	249	255	289	297	198	213	158	166			48.76500	17.00750		
29	TYN26	TYN	177	179	126	130	201	201	118	124	171	179	218	245	174	184	249	255	295	295	205	205	158	166			48.76500	17.00750		
30	TYN27	TYN	176	176	126	128	207	207	120	153	169	173	220	220	182	188	249	255	291	291	205	209	136	162			48.76500	17.00750		
31	TYN28	TYN	168	172	128	132	219	219	130	130	169	175	249	249	186	188	245	253	285	289	209	213	132	170			48.76500	17.00750		
32	TYN29	TYN	170	180	128	130	219	219	130	130	171	171	243	243	184	184	249	255	285	289	209	213	166	178			48.76500	17.00750		
33	TYN30	TYN	170	177	124	130	215	215	138	138	171	177	232	236	184	186	249	253	285	291	209	209	162	174			48.76500	17.00750		
34	NOV1	NOV	172	176	128	134	209	219	120	120	169	175	253	253	182	184	251	255	289	295	178	209	162	166			48.83320	16.50610		
35	NOV2	NOV	178	178	130	130	209	209	128	132	173	173	238	243	182	184	249	251	285	287	205	209	136	170			48.83320	16.50610		
36	NOV3	NOV	163	165	126	126	207	213	122	124	173	175	220	245	178	186	247	247	285	285	205	213	133	179			48.83320	16.50610		
37	NOV4	NOV	167	178	128	134	205	205	118	124	173	177	220	220	186	188	253	255	287	289	205	213	162	166			48.83320	16.50610		
38	NOV5	NOV	176	178	128	130	201	201	130	130	173	177	243	245	174	184	247	249	287	293	201	209	162	170			48.83320	16.50610		
39	NOV6	NOV	176	178	126	130	209	215	138	134	166	173	0	0	184	184	245	245	287	287	205	213	162	166			48.83320	16.50610		

pop1  
pop2

genotypy, tj. velikosti fragmentů v populaci

# Velké množství populačně-genetických programů

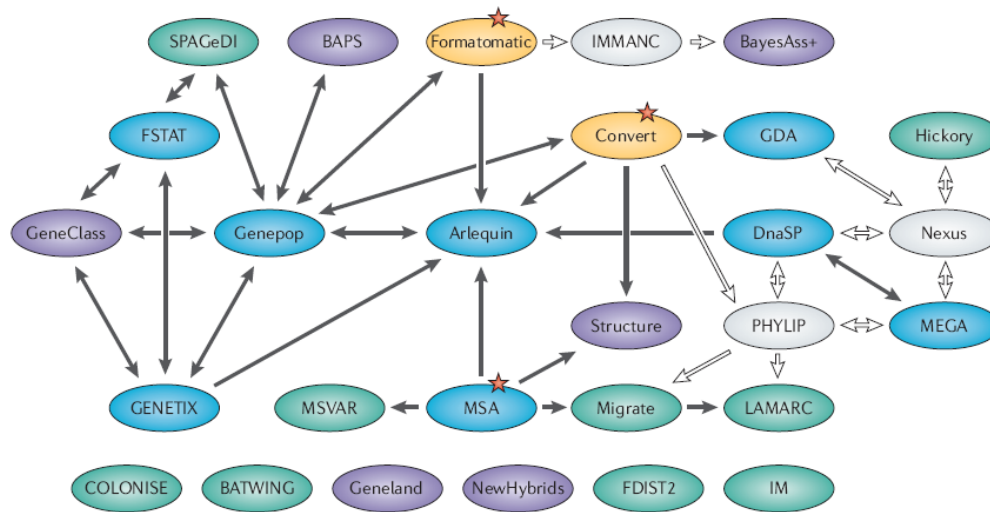
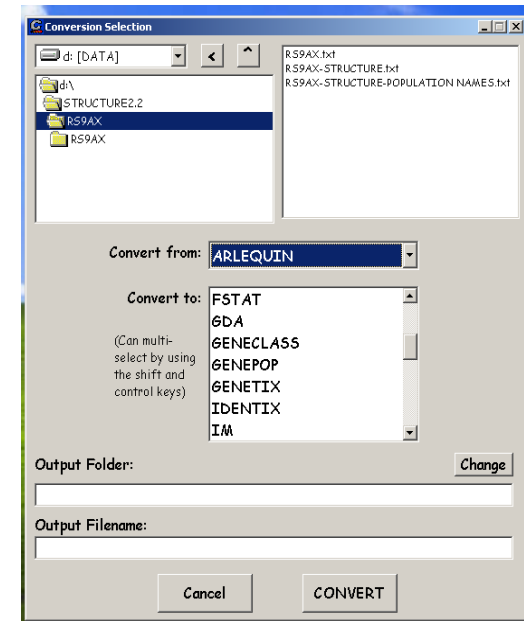
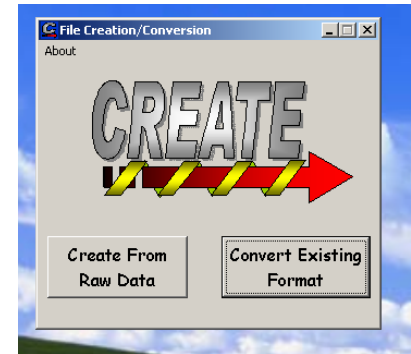


Figure 1 | **Flow chart of possible data exchange between different population genetics programs.** Although many programs have their own input-file specification, data files can still be exchanged between most programs (black arrows), avoiding tedious reformatting processes. The red stars are recommended starting points to format an initial data set. Blue ellipses represent multi-purpose packages, whereas individual-centred programs are shown in violet. The two conversion programs are shown in yellow. Specialized programs are shown in green, and light grey ellipses represent programs that are not reviewed here, but the data formats of which are used by other programs allowing indirect data exchange (white arrows). The data files associated with the programs listed on the bottom row cannot be exchanged directly with the other programs.



## Computer programs for population genetics data analysis: a survival guide

Laurent Excoffier and Gerald Heckel



# 1. Vnitropopulační variabilita (popis získaných dat)

## Polymorfismus

- podíl polymorfních lokusů (znaků) – 95 % nebo 99 % (např. 0,8 = 4 z pěti zkoumaných mikrosatelitů mají v populaci alespoň 2 alely, z nichž ta vzácnější dosahuje frekvence alespoň 1% nebo 5%)

## Počet alel (number of alleles)

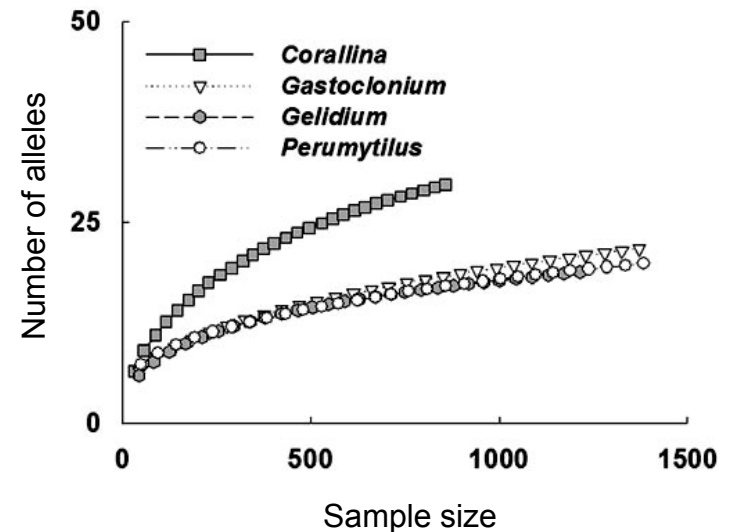
- počet alel na lokus

## Alelická bohatost (allelic richness)

- počet alel na lokus vztažený k velikosti vzorku (metodou „rarefaction“) - FSTAT

## Pozorovaná heterozygotnost (observed heterozygosity)

- průměrná četnost heterozygotů v jednotlivých lokusech



# Hardy-Weinbergova rovnováha (HWE)

Př. Jeden lokus se 2 alelami

Alela	Četnost alely
A	p
a	q

$$p + q = 1$$

p, q - zjistíme analýzou svých vzorků

Genotyp	Očekávaná četnost genotypu
AA	$p^2$
Aa	$2pq$
aa	$q^2$

= Hardy-Weinbergova rovnováha

- četnosti genotypů zjistíme analýzou svých vzorků
- odchylky od očekávaných četností  $\Rightarrow$  např.  $\chi^2$  test

Očekávaná heterozygotnost (expected heterozygosity,  $H_e$ ) při HWE

$H_e = 1 - (p^2 + q^2)$  ..... pro 1 lokus se 2 alelami s četností p a q

# Předpoklady HWE

- náhodné párování (panmixia)
- zanedbatelný efekt mutací a migrací („closed populations“)
- nekonečně velká populace
- Mendelovská dědičnost použitých markerů
- neutrální znaky – žádná selekce
  
- znaky nejsou ve vazbě – kontrola na „linkage disequilibrium“ (vazebná nerovnováha)



2 lokusy ve fyzické blízkosti  
(snížená pravděpodobnost rekombinace  
linkage disequilibrium)

vs.



nebo



2 lokusy fyzicky vzdálené  
(pravděpodobnost rekombinace není ovlivněna  
linkage equilibrium)



# Odchylky od HW rovnováhy

- **Test HWE** – nejlépe Genepop („exact probability tests“) – pokud jsou odchylky, tak některý předpoklad HWE nebyl splněn
- **nadbytek heterozygotů** = negativní asortativní páření (tj. cílené rozmnožování nepodobných jedinců) – použité lokusy mohou být výhodné v heterozygotním stavu (např. geny MHC)
- **nedostatek heterozygotů**
  - inbreeding (postihuje všechny lokusy stejně)
  - nulové alely (jen na některých lokusech bude deficit heterozygotů)

# Příklad – stanovení variability populace

Jedinec	Locus 1	Locus 2	Locus 3	Locus 4	Průměr
Ind 1	170/170	223/227	116/116	316/316	
Ind 2	170/172	223/225	112/112	316/316	
Ind 3	172/172	223/225	112/112	316/316	
Ind 4	170/172	223/227	112/112	316/316	
Počet alel	2	3	2	1	<b>2</b>
Ho	0,5	1,00	0	0	<b>0,375</b>
p	0,5	p = 0,5	0,75	1,00	
q	0,5	q = 0,25 r = 0,25	0,25	0	
He	0,5	0,625	0,375	0	<b>0,375</b>

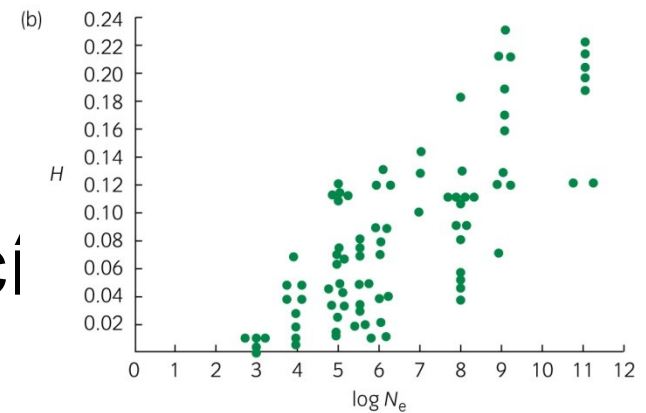
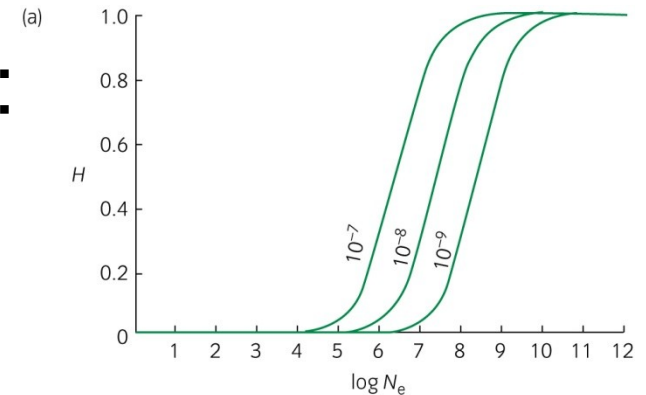
$$H_e = 1 - (p^2 + q^2)$$

$$\text{Polymorfismus} = 0,75$$

$$H_e = 1 - (p^2 + q^2 + r^2)$$

# Použití údajů o genetické variabilitě

- neutrální genetická teorie:  
$$H_e = 4N_e\mu / [4N_e\mu + 1]$$
- mutation-drift equilibrium
- srovnání různých populací a jejich  $N_e$  ( $H_e$ , AR atd.)



# $N \sim H_e$ ... nemusí to být pravda

- vliv historického vývoje populací („bottlenecks“)
- Northern elephant seals *Mirounga angustirostris* – 120 000 jedinců – 50 allozymových lokusů – žádná variabilita

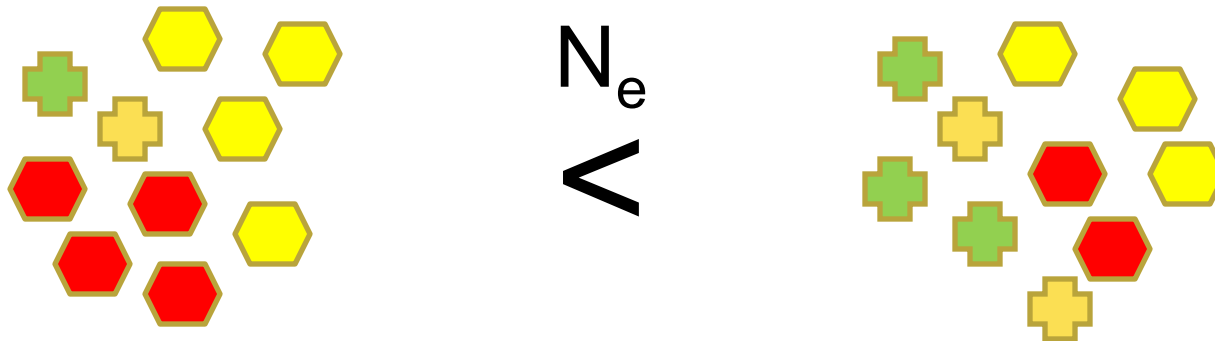


rypouš severní



# Efektivní velikost populace ( $N_e$ )

- $N_e$  = velikost ideální populace (náhodné páření, rovnoměrný poměr pohlaví), která ztrácí genetickou diverzitu stejnou rychlostí jako aktuální populace (vlivem náhodného driftu)
- ovlivněna genetickou a věkovou strukturou, poměrem pohlaví, intenzitou inbreedingu atd.

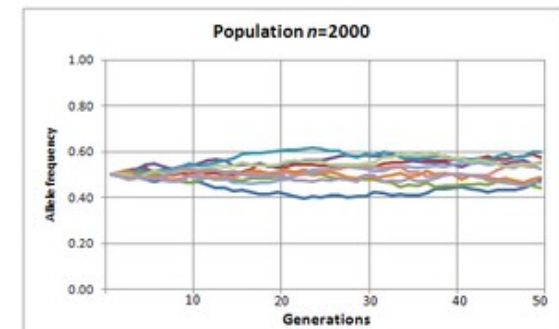
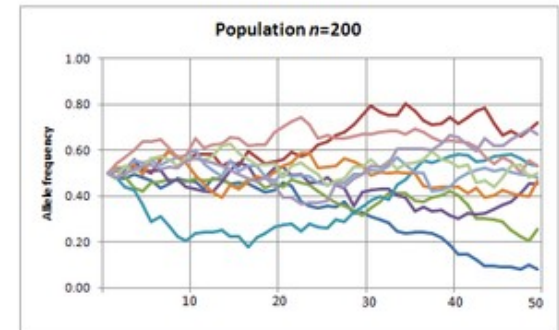
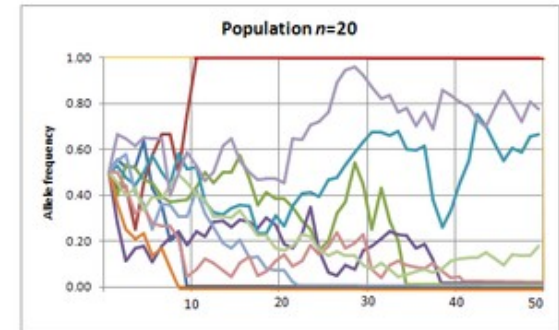


- vývoj genetické variability v malých populacích závisí na  $N_e$  více než na  $N$

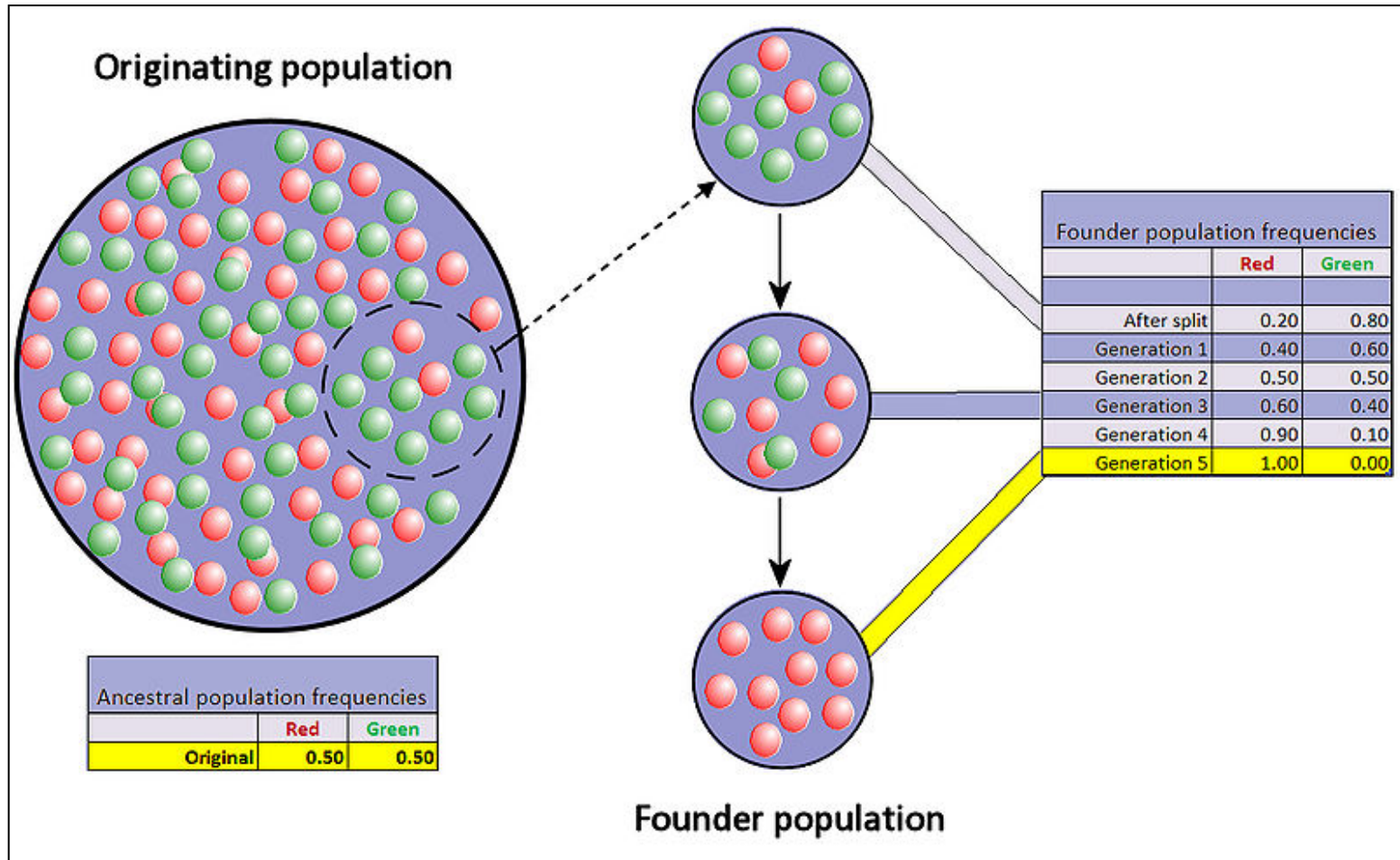
# Genetický drift



- Náhodné změny ve frekvencích alel
- Intenzita driftu závisí na velikosti populace (viz ochranářská genetika)
- Specifické případy – founder effect, bottleneck

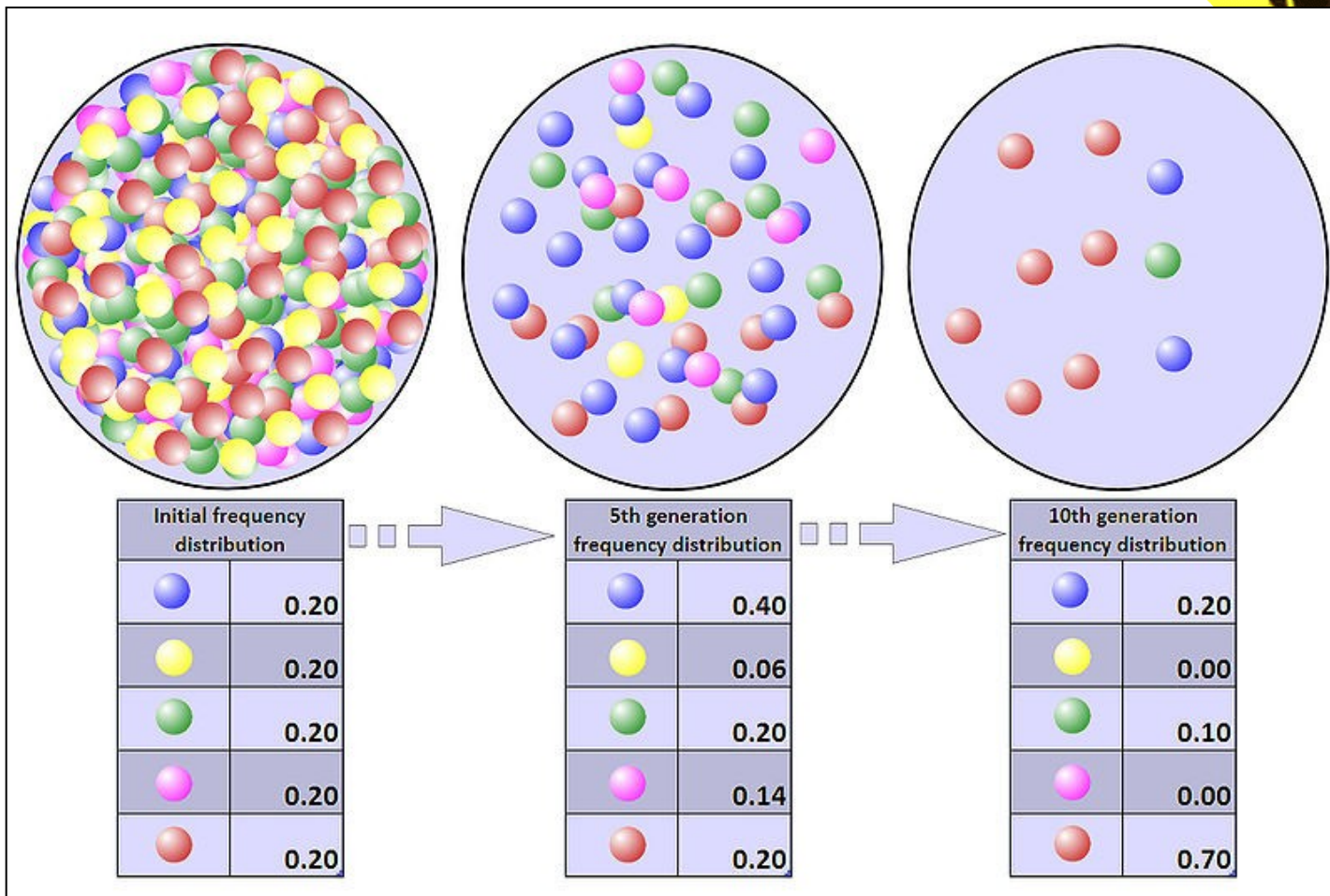


# Founder effect („jev zakladatele“)



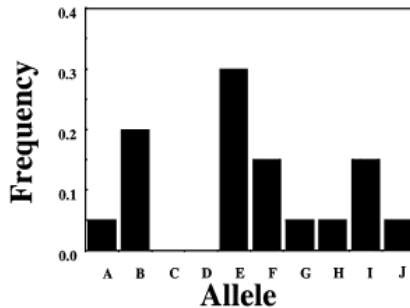


# Bottleneck

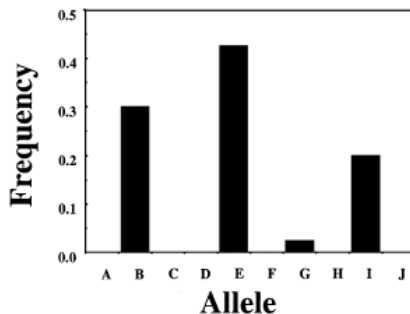




# Detekce bottlenecku



Reduction in population size



50% reduction in no. of alleles  
20% reduction in size range

Při bottlenecku vymizí nejdříve vzácné alely, rychleji než se sníží rozsah alel nebo heterozygotnost

Nutno znát (předpokládat) mutační model – pak se nasimuluje „mutation-drift“ rovnováha a srovnává se se skutečným stavem

**Program M Ratio:** počet alel vs. rozsah alel

**Program BOTTLENECK:** počet alel vs. heterozygotnost

Předpoklad testů: Populace v HW rovnováze

# Bottleneck

- Při bottlenecku
  - redukce počtu alel
  - ovlivnění heterozygotnosti není tak rychlé
  - více heterozygotů než by vyplývalo z populačního modelu (IAM, TPM, SMM)
- Nutno definovat mutační model, předpokladem je HW rovnováha, testuje se mutation-drift equilibrium
- Program BOTTLENECK

- Záleží na zvoleném modelu
- Ale SMM asi neplatí stoprocentně

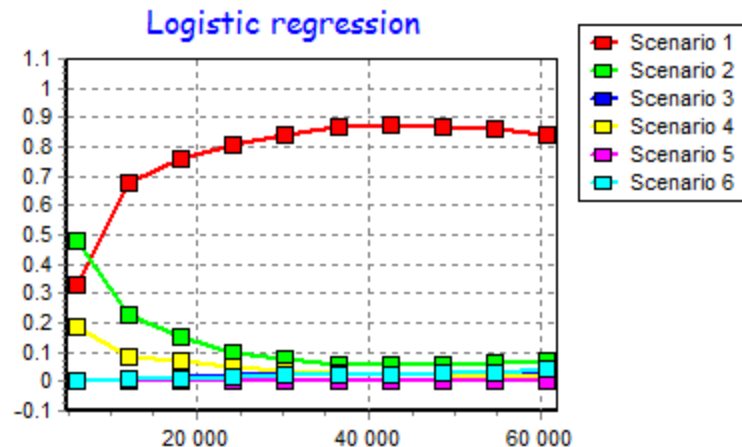
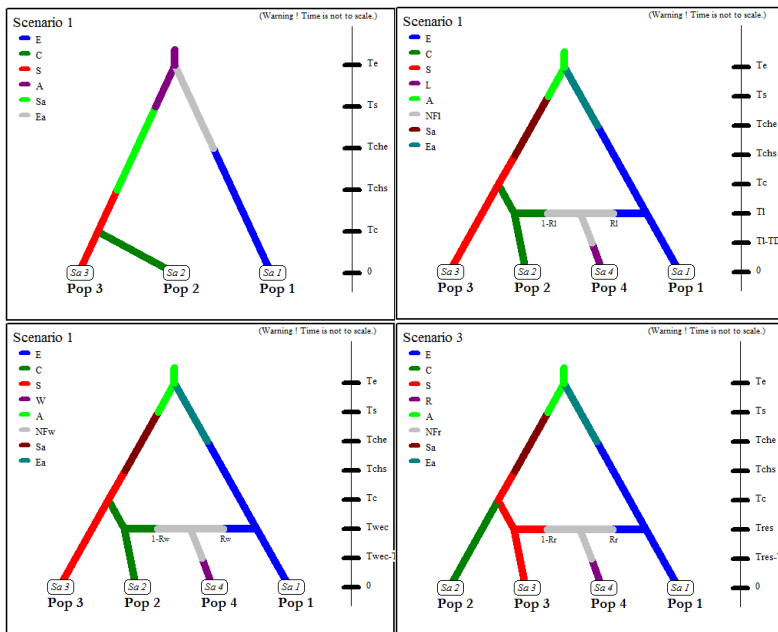


**Table 4** Departures from mutation-drift equilibrium in yellowhammer samples

Sampling sites	IAM	TPM	SMM
DEV	0.0039**	0.0078**	0.3438
GWE	0.0039**	0.0391*	0.7656
CUM	0.0039**	0.0391*	0.8125
OXO	0.0039**	0.0117*	0.3438
YOR	0.0039**	0.0117*	0.7656
T & W	0.0078**	0.1875	0.8125
LEI	0.0195*	0.2891	0.6563
SUF	0.0039**	0.0195*	0.6563

# Detekce bottlenecku nebo expanze – Bayesiánský přístup

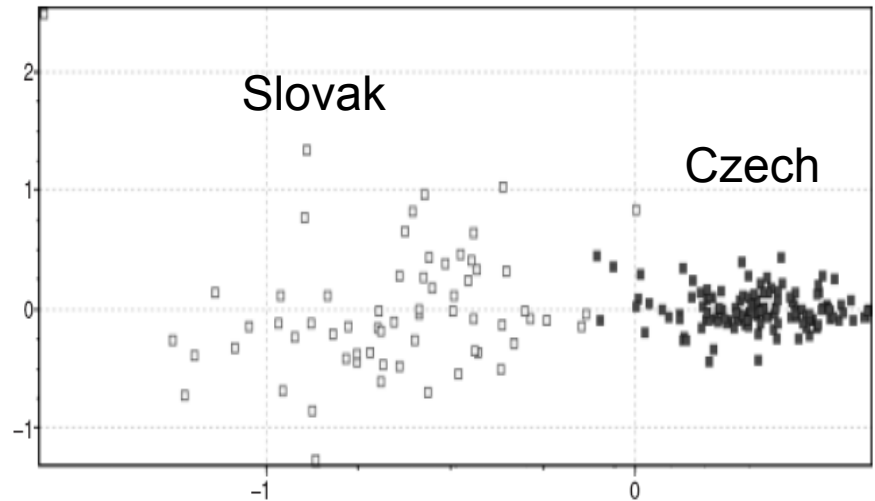
- **Komplexní Bayesiánský přístup** (založen na koalescenční teorii)
  - Detekce bottlenecku i expanze
  - Vhodné při dlouhodobějších změnách
  - Markov chain Monte Carlo simulations
  - Beaumont M. – např. program MSVAR nebo DIY ABC



Testování alternativních scénářů vývoje populací v programu DIY ABC

# Otters in central Europe

- strong decline of population numbers in last century
- fragmentation of distribution area



**Table 3** Simulated data from five replicate runs of the MSVAR programme

Population	Model	$n_0$	$n_1$	$\mu$	Xa (generations)	Xa (years)
CZE	EXP	<b>66.1</b> (1.7; 245 470.9)	<b>257.0</b> (12.6; 7079.5)	<b><math>1.6 \times 10^{-3}</math></b> ( $5.6 \times 10^{-5}$ ; $4.2 \times 10^{-2}$ )	<b>5.9</b> (0.2; 549.5)	<b>17.7</b>
	LIN	<b>28.2</b> (0.4; 93 325.4)	<b>281.8</b> (13.5; 7413.1)	<b><math>1.3 \times 10^{-3}</math></b> ( $4.3 \times 10^{-5}$ ; $3.7 \times 10^{-2}$ )	<b>7.2</b> (0.2; 660.7)	<b>21.6</b>
SVK	EXP	<b>147.9</b> (2.6; 323 593.6)	<b>588.8</b> (26.9; 14 791.1)	<b><math>1.1 \times 10^{-3}</math></b> ( $4.4 \times 10^{-5}$ ; $2.3 \times 10^{-2}$ )	<b>4.3</b> (0.1; 162.2)	<b>12.9</b>
	LIN	<b>123.0</b> (0.5; 363 078.1)	<b>575.4</b> (29.5; 16 218.1)	<b><math>1.0 \times 10^{-3}</math></b> ( $4.1 \times 10^{-5}$ ; $2.1 \times 10^{-2}$ )	<b>4.7</b> (0.1; 173.8)	<b>14.1</b>

$n_0$ , estimated mode (and limits) of current effective population size;  $n_1$ , estimated mode (and limits) of past effective population size;  $\mu$ , estimated mode (and limits) of mutation rate; Xa, estimated mode (and limits) of time between current and past population size in generations and years; CZE, Czech population; SVK, Slovak population; EXP, exponential model; LIN, linear model.

## 2. Analysis of population subdivision (mezipopulační variabilita)



# Hierarchická populační struktura

Druh → populace → subpopulace (demy)

## Předpoklady studia populačně-genetické struktury

- lokusy používané pro analýzu populační struktury jsou neutrální vůči selekci
- **klasický populačně-genetický přístup** = jednotlivé populace jsou předem známy (např. chceme zjistit úroveň genetických rozdílů mezi dvěma lokalitami = populacemi)

# Genetická struktura populací

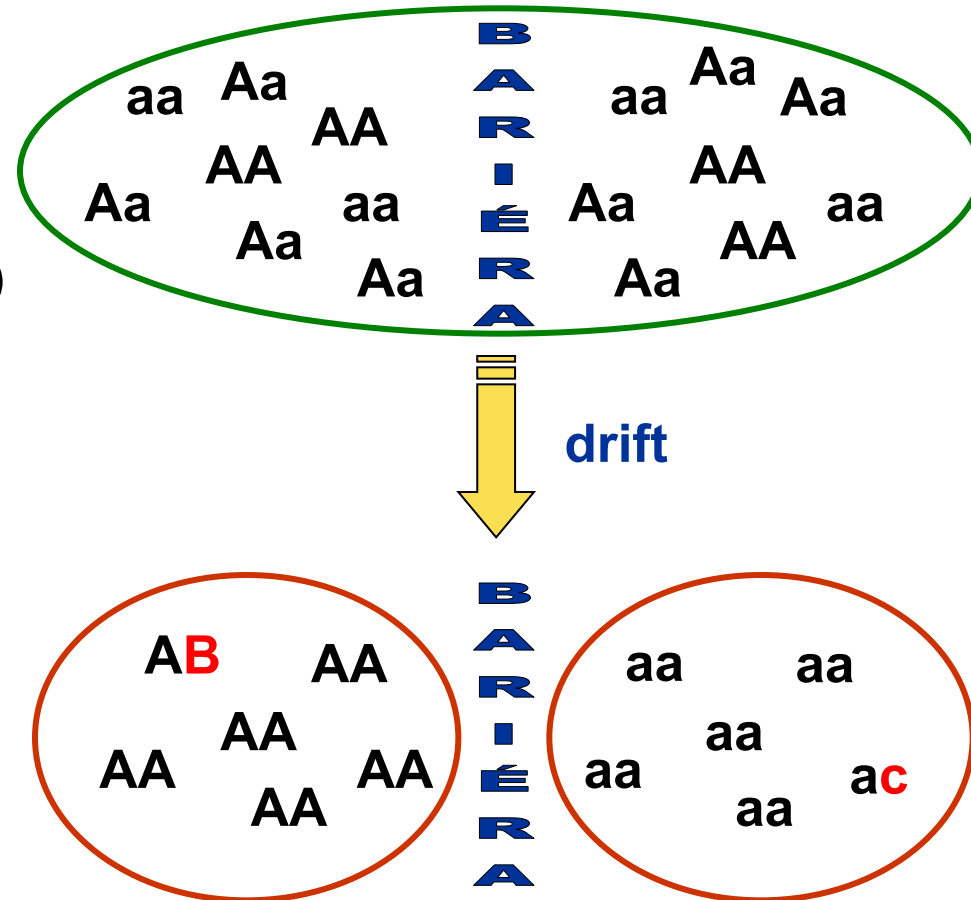
## drift, mutace

- **Drift**

→ diferenciaci subpopulací díky změnám frekvencí (až fixaci) alternativních alel

- **Mutace**

mohou zvýšit diferenciaci (nebo ne – homoplázií)

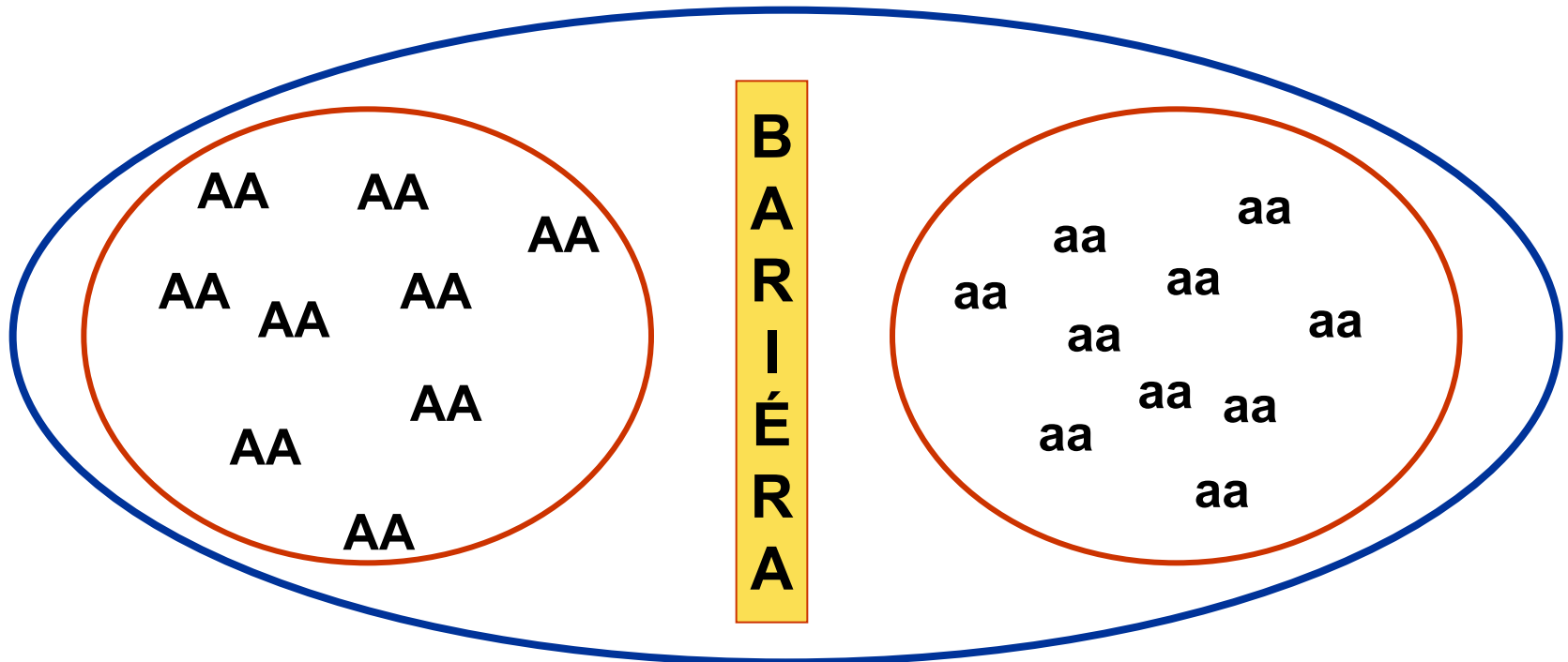


### Migrace (genový tok)

- působí proti diferenciaci subpopulací

# Vliv populační struktury na heterozygotnost

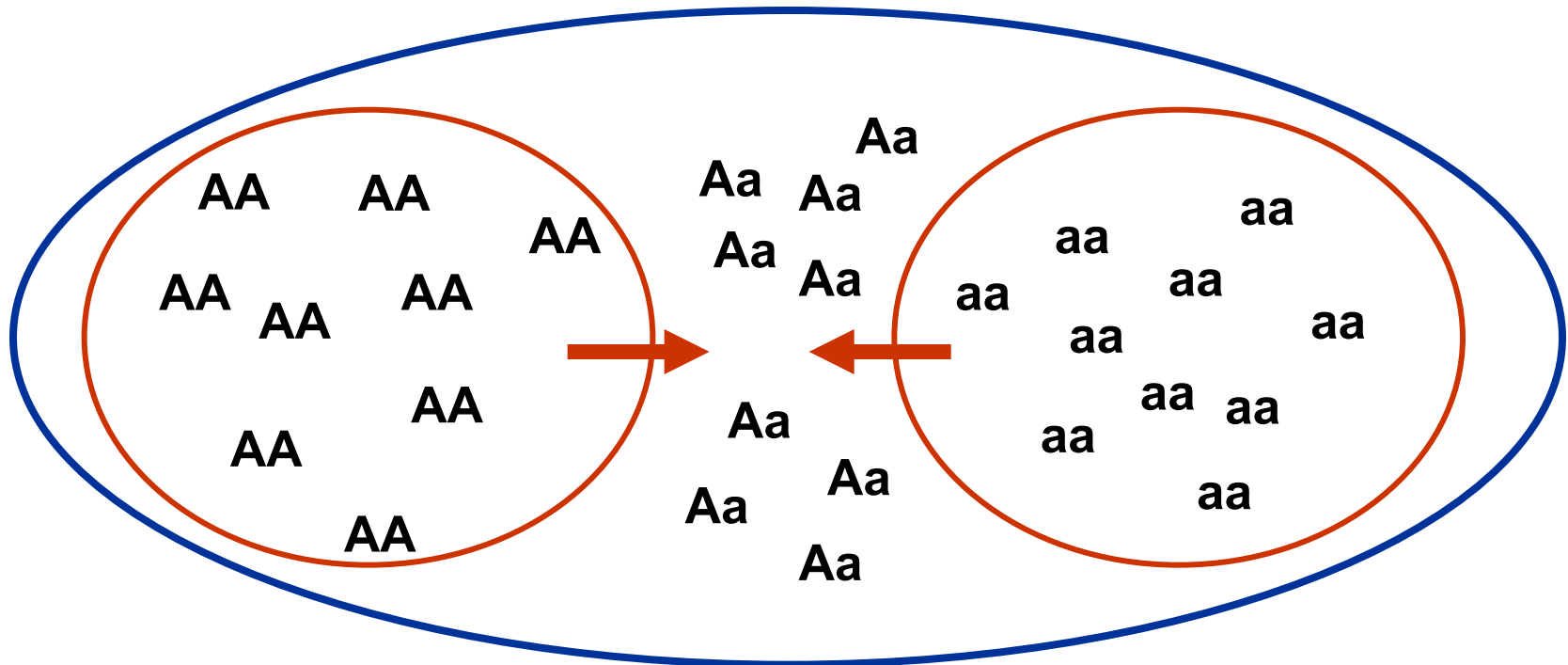
- Wahlundův princip
- Dvě izolované subpopulace s fixovanými alelami
- Subpopulace v HW, celkově v populaci však nedostatek heterozygotů





# Wahlundův princip (isolate breaking)

- Pokles homozygotnosti při sloučení subpopulací



# Wahlundův princip - příklad

- Jezero Bunnarsjöarna (severní Švédsko) – brown trout
- 2 alely na alozymovém markeru

	A/A	A/B	B/B	Total	p	2pq
Přítok	50	0	0	50	1.000	0.000
Odtok	1	13	36	50	0.150	0.255
Celé jezero (expected)	51 (33.1)	13 (48.9)	36 (18.1)	100	0.575	0.489



# Jak zjišťovat strukturovanost populací?



Factorial correspondence analysis  
(Genetix)

